

東京工業大学

工学部 正員 雄貝博美

"

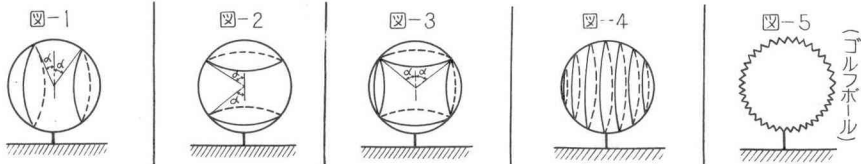
正員 河野二夫

"

大学院 山崎丈夫

1. まえがき

海底に設置された構造物が表面波によってどのような影響を受けるかといつて問題について、著者は以前模型実験を行ない、その結果を報告した。それによると、波の進行方向に直角方向の振動（前の論文ではY方向の振動と呼ぶことにした）の本論文でも同様の呼び方とする）が起り、その周期は波と同周期であるか、または波の周期の $\frac{1}{2}$ であるような規則的な振動であることが判明した。この論文は、おもにY方向の振動についてさらに実験を行ない、その振動の原因について実験的に考察しようとするものである。まず、振動の原因の一として物体の背後に非対称に発生する渦（二次元の場合の左右交互に発生するKármán渦に相当する）



と考えられる。）によって物体が一次的に振動を生じ、さらにこの物体の動きが物体周囲の流れと変動させ振動を促進させるという、いわゆる流れと振動との相互作用も考えられる。流体と物体の相互作用については流体の媒介による構造物の作用の中では最も重要な事であると Allen T. Hjelmfelt⁽²⁾ は述べている。また、波動の中では更に剥離渦が周期的に移動する効果も考えられる。

このような振動防振の方法の一つとしては物体上において流れの剥離点を固定させることが考えられるが、著者はこのようなことから本実験では図-1～図-4に示すように銅金の輪と球に対称に取付けた場合の防振効果の実験、および図-5に示すようなゴルフボールと使用した場合の実験を行なった。実験結果、防振効果が認められた。

2. 球の周りの流れの状況

過マンガン酸カリを使用して球のまわりの流れの状況を観測したものと写真-1および写真-2に示した。写真-1は水路水深15.5cm、水路巾40cm、流量7.75l/s、Re数 6.7×10^4 の場合の定常流における状況である。図で流れの方向は右側から左側の方向である。写真によると渦輪の発生および剥離点の位置がわかる。また、写真-2は水路長1.8m、水路巾40cmの小型造波水路に球径5.4cmのものを使用し表面波と並んで場合の流れの状況と水路下流端の斜め上から撮影したものである。

写真-1：振動による球のまわりの流れ

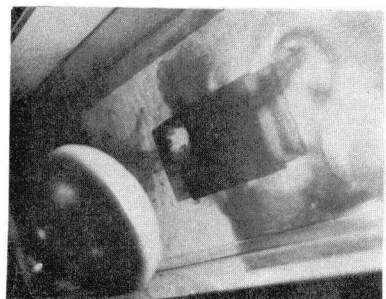
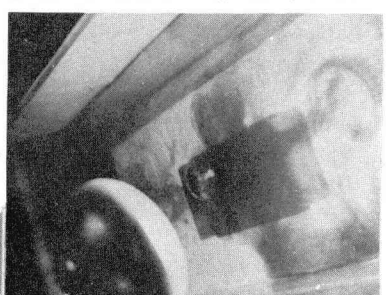


写真-2：振動による球のまわりの流れ

写真1：定常流における球のまわりの流れの状況
 $h=15.5\text{cm}, D=5.35\text{cm}$
 $Re=6.7 \times 10^4$



図で波の進行方向は左側より右側の方向である。観測によると通常流の場合に対し剥離点は周期的に移動している。また通常流の場合のRe数とストロハル数(S)の関係と調べたものが図-6である。図の中で f_m は球の振動数を示すが、Re数が大きい所ではわざかではあるが振動数が一様でないのが平均値を示した。またDは球径、 δ は水路から球の中に位置までの高さを示す。Sの表記の次元として球の振動振巾が球径(D)に

比較して小さいので球径(D)を採用した。 U_m は球の中に位置における平均流速を示す。図によると、ストロハル数は固有角振動数(ω_0)や球径(D)によらず異なることがわかる。このことからKármán渦列などの効果は少ないことが一応考えられる。

また(●)印の実験ではRe数が 1.1×10^4 以下になると極めて不規則な振動を示している。

3. 実験装置と実験方法

実験装置および実験方法は前の論文に紹介したので本文では省略する。たゞ防振のために取付けられた輪は $\phi = 0.2\text{mm}$ の銅線を3本に束ねたものとの輪の直径は図-1から図-3の模型はいずれも3cmであり、1箇の輪の重さは 0.074g である。また図-4は $\phi = 0.2\text{mm}$ の銅線を2本束ねたものとの輪の直径は 3.7cm か1箇と 3.3cm, 2.65cm, 1.5cm が各々2箇である。図-5はゴルフボールである。以上の模型の板ばねと球の諸元を表-1に示した。

4. 実験結果

4-1. Y方向の外力

球に作用する外力に影響する主な物理量として次のものと仮定する。球の直径(D), 球の中に水路底からの高さ(δ), 固有振動数(ω_0), 波の振動数(ω), 球の振動数(ω_s), 波高(H), 水深(L), 水の密度(ρ), 効粘性係数(ν), 球の変位(S), そこで球に作用する外力とPとすると, Pの関数形は(1)式になる。

$$P = f(D, \delta, H, L, h, \rho, \nu, \omega, \omega_0, \omega_s, S) \quad (1)$$

図-6. S~Reの関係

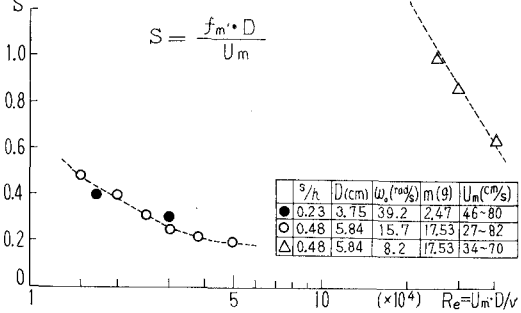


表-1. バネと球の諸元

No	7	8	9	10	11	12	13	
球径(D)	cm	3.75	3.74	3.74	3.75	3.75	4.12	3.74
球の質量	g	24.4	24.7	24.4	24.7	24.4	46.	24.7
板ばね質量	g	13.8	13.8	13.8	13.8	13.8	18.15	13.8
防振輪質量	g	0.168	0.168	0.168	0.168	0.296	-	0.35
輪の位置	δ °	52.7	52.7	57.3	57.3	52.7	-	-
板ばねの長さ	cm	10	10	10	10	10	7	7
板ばねの厚さ	mm	0.4	0.4	0.4	0.4	0.4	0.4	0.4
板ばねの巾	mm	10	10	10	10	10	10	10
ばね定数(k)	dyn/cm	$\times 10^4$ 0.274	$\times 10^4$ 1.88	$\times 10^4$ 0.653	$\times 10^4$ 1.08	$\times 10^4$ 0.514	$\times 10^4$ 1.83	$\times 10^4$ 3.12
固有振動数	rad/s	18.25	22.8	19.85	22.4	19.35	16.6	34.9
減衰倍数	%/s	47.3	37.9	27.5	41.8	43.0	65.5	-
水路水深(h)	cm	50	50	50	50	40	50	40
種型		図-1	図-1	図-2	図-2	図-3	図-5	図-4
摘要		水入れ	中空	水入れ	中空	水入れ	ゴルフボーラー	中空

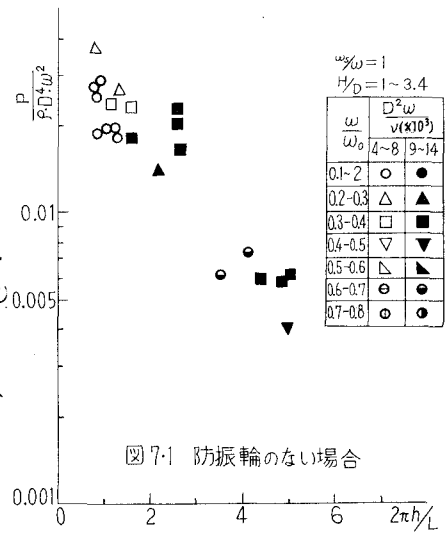


図-7-1 防振輪のない場合

独立変量に D , $\frac{P}{\rho b^4 \omega^2}$, ω をえらんで次元解析とすると(2)式のような無次元式が得られる。

$$\frac{P}{\rho b^4 \omega^2} = \phi_1 \left(\frac{\omega}{\omega_0}, \frac{\omega_s}{\omega}, \frac{D^2 \omega}{\nu}, \frac{H}{D}, \frac{L}{D}, \frac{h}{D}, \frac{s}{D}, \frac{P}{D^4 \omega^3} \right) \quad (2)$$

(2)式の無次元量のうち使い易い形のものに変えると、

$$\frac{s}{D} = \phi_2 \left(\frac{\omega}{\omega_0}, \frac{\omega_s}{\omega}, \frac{D^2 \omega}{\nu}, \frac{L}{D}, \frac{H}{D}, \frac{h}{L}, \frac{s}{L}, \frac{P}{D^4 \omega^3} \right) \quad (3)$$

式の中で $\frac{H}{D}$, $\frac{h}{D}$ は表-1から一意と考えるに $\frac{\omega_s}{\omega} = 1$ の場合だけについて考えると図-7.1 のような実験結果が得られる。さらに防振輪のある場合も同様にして整理すると図-7.2 のようになる。両クーリーは資料数の関係からパラメータ $(\frac{D^2 \omega}{\nu}, \frac{H}{D})$ を相当の範囲ごプロットしたけれども比較的統一的な整理ができると思われる。図-7.1 と図-7.2 を比較すると防振効果が相当にあることがわかる。つぎに図-7.2 を用いて、防振方法による効果を比較したもののが図-8である。資料が少ないので充分ではないが、図によれば模型図4.5.3 が最も効果がある。また $(\frac{D^2 \omega}{\nu})$ の値の大きい部分の外力について言えば、金体として図-7.1 とは逆の関係があり、このことから波長の大きな程防振効果の大きいことが判斷される。

4-2. Y 方向の変位

防振の効果の大きいと思われたときの実験 No.13 (模型図-4) の場合の一例と効果の小さいと思われるときの実験 No.10 (模型図-2) の場合の波形をそれぞれ図-9, 図-10 に示した。図-9 では防振輪のために変位はほとんどなく、図-10 でも約 60 % 变位が減少している。つぎに波形のどのような位置で振動が起こるかといつては重要なことだと考えるが、図-9 では防振輪のある場合と見ると水面が上昇する時、しかも時間的には $t = 0, T, 2T, \dots$ といつて時が可能倍が無い。このことは他の実験でも見える。つぎに振巾の防振輪による効果について調べたものが図-11 である。図-11 では平均的に見ると 50 % 程度の振巾減少がわかるであろう。つぎに模型別の防振効果について、図-8 と同様の整理としたものが図-12 である。

5. むすび

以上の実験結果を結論づけることは大変であるが次の事は云えると思う。

(1) 振動による球の剥離率は時間

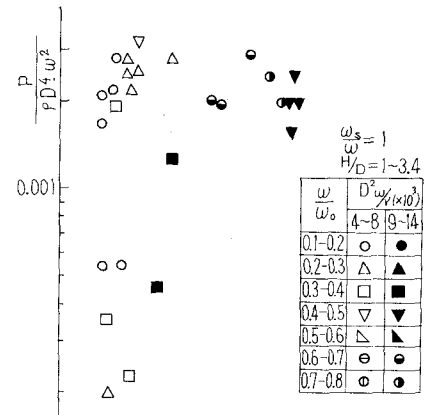
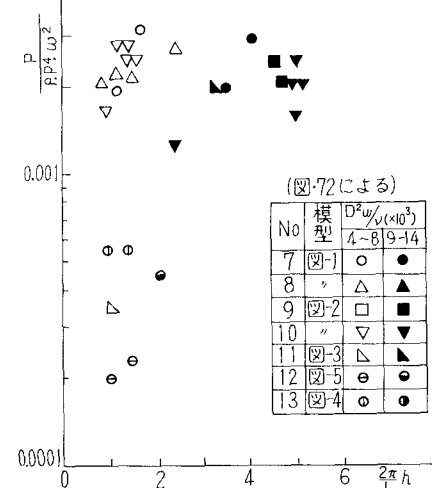
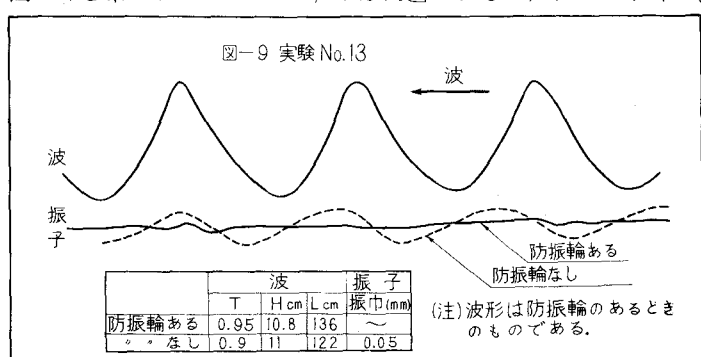


図-7.2 防振輪のある場合

図-8. 模型別の効果



(図-7.2による)



灯に移動する。

(2) 別離点を固定する
と固定の仕方によつてはY方向の振巾は
減少する。

6. 補足

本論文では $\frac{\omega_s}{\omega} = 1$ の

場合を取り扱い、前論文 {参考文献 1), 2)} では $\frac{\omega_s}{\omega} = 1, 2$ の場合だけが振巾がほぼ一様の場合を取り扱つてゐるが、この他に $\frac{\omega_s}{\omega} = 3$ の場合もある。

しかし $\frac{\omega_s}{\omega} = 3$ の場合は極めて少ない。また極めて少ないと、振巾が時間と共に増減する、いわゆる「うなり」の現象も生じてゐることを附記する。

7. 参考文献

- (1). 波動による球の振動: 第15回海岸工学講演会講演集 (1968). 雅見博美, 河野二夫.
- (2). 表面波による球の運動について: 第23回国次学術講演会概要集 (1968). 雅見博美, 河野二夫.
- (3). Alter T. Hjelmfelt, A.M. ASCE, John F. Carney, III: Dynamic Response of A Restrained in Fluid., Proc. of ASCE, 1967.

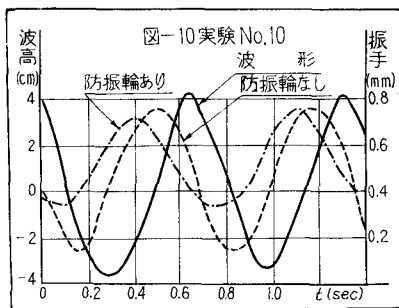


図-10 実験 No.10

図-11 変位の減少

×: 防振輪をつける

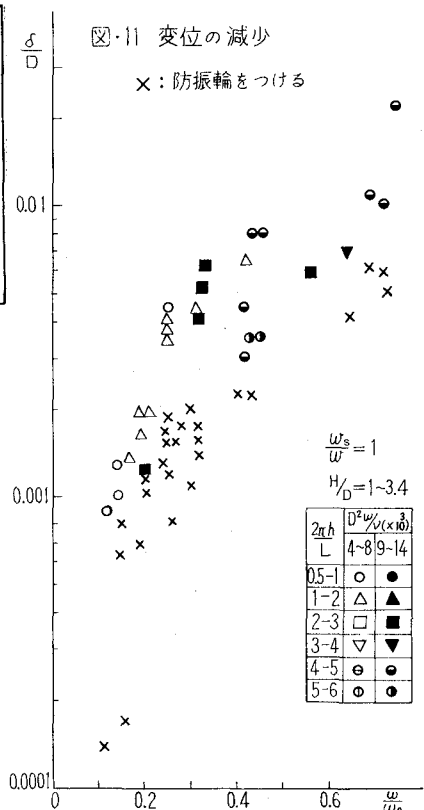


図-12 模型別の効果

